



高分子電解質材料における構造制御

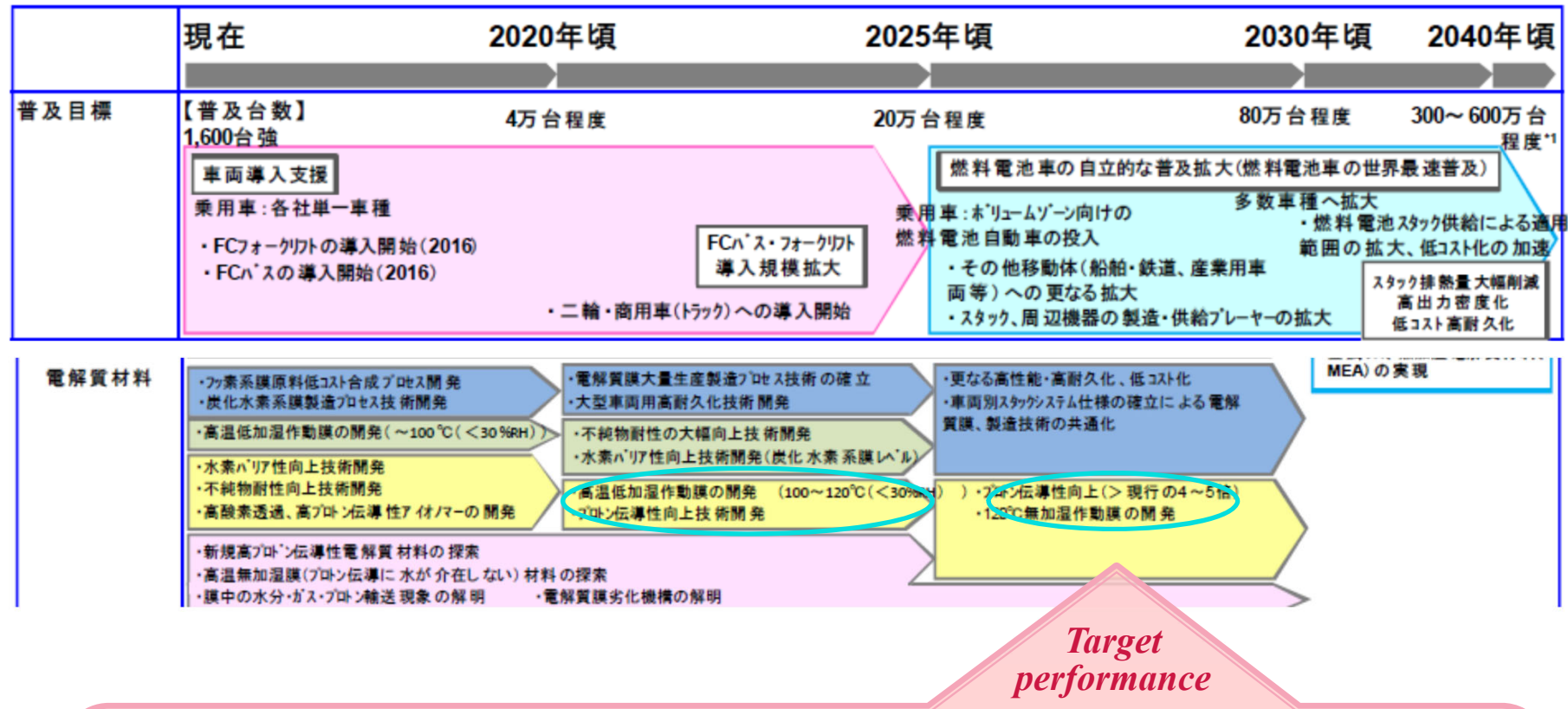
上智大理工
陸川 政弘

2020年10月27日



高分子電解質形燃料電池の動向

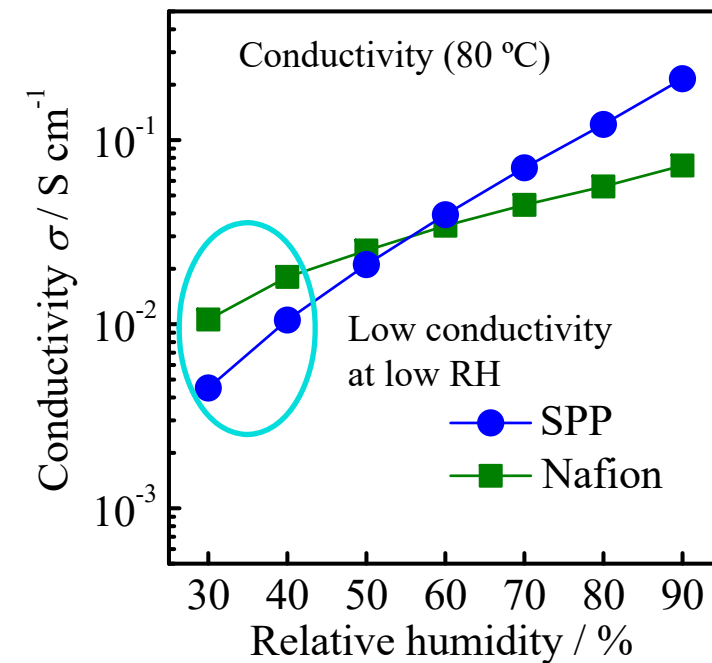
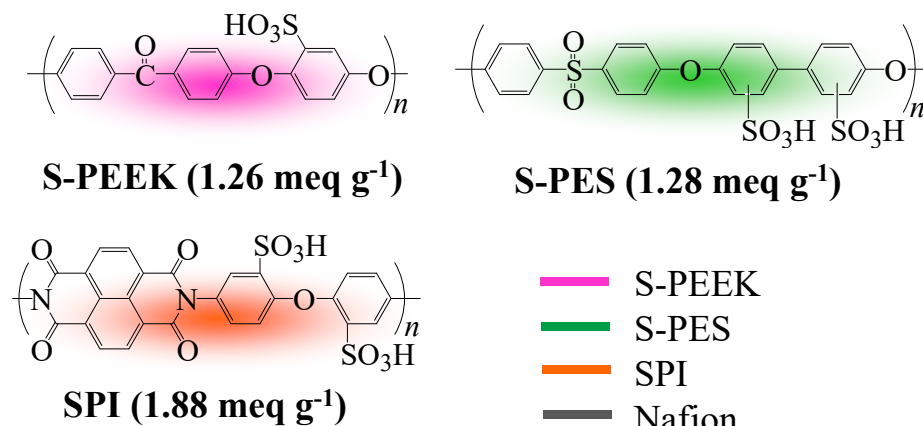
Road map of fuel cell vehicle development (NEDO, 2018)



- Develop membranes and catalysts that operate at high temperature (120 °C) with little or no humidification.
- Develop **water management** strategies that prevent the membrane from either flooding or dehydrating.

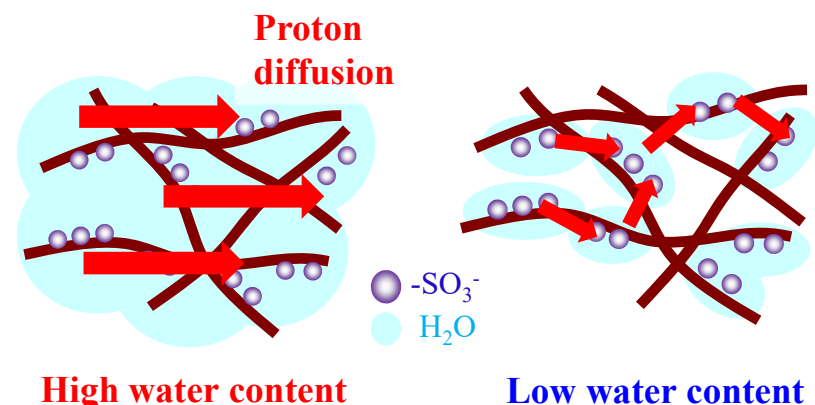
Fuel Cell Subprogram Overview (DOE, 2007)

Previous hydrocarbon-typed PEM



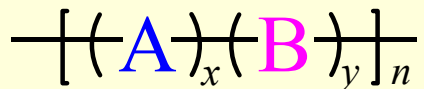
Problems of hydrocarbon-typed PEM

- Less separated morphology
- Ion channels with dead-end, “pockets”
- Need high water contents
- Operating at around 80 °C
→ Due to dehydrating at higher temperature



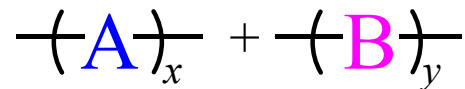
Strategy 1: Phase segregation control

Block copolymer

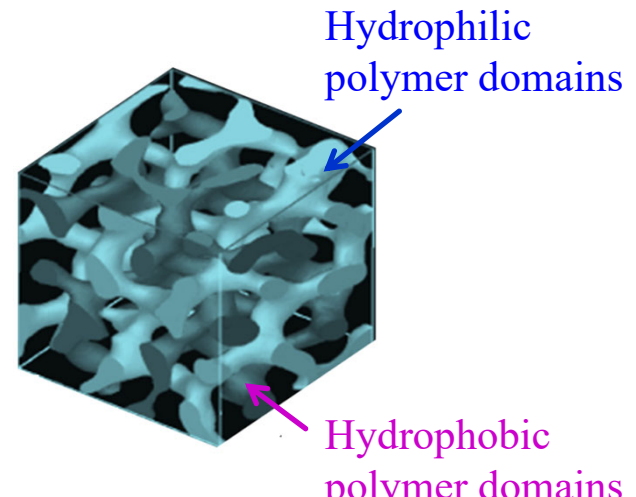


Hydrophilic block Hydrophobic block

Polymer blend



Polymer composite

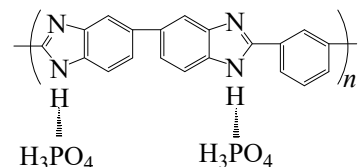


Strategy 2:

Non-aqueous proton conductor

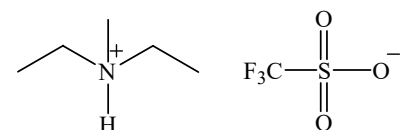
Oxo-acid

ex. PBI-H₃PO₄



Ionic liquid

ex. [dema][TfO]



Strategy 3:

Hydrophilic additives

Hydrated acidic oxide

ex. WO₃·2H₂O, Sb₂O₅·nH₂O

Proton conductive particle

ex. ZrP

超強酸性基を導入した炭化水素系電解質



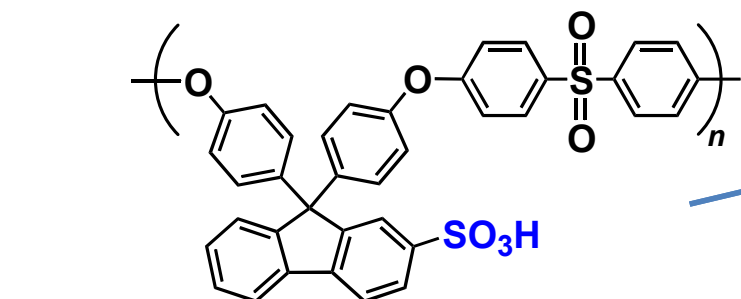
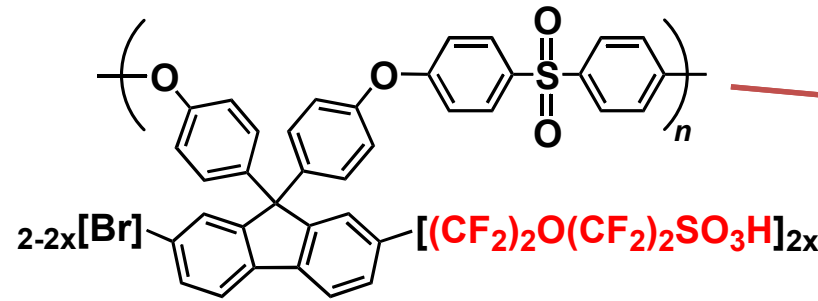
$\text{pK}_a = -14$

超強酸性

Bordwell, F. G. *Acc. Chem. Res.* **1988**, *21*, 456.



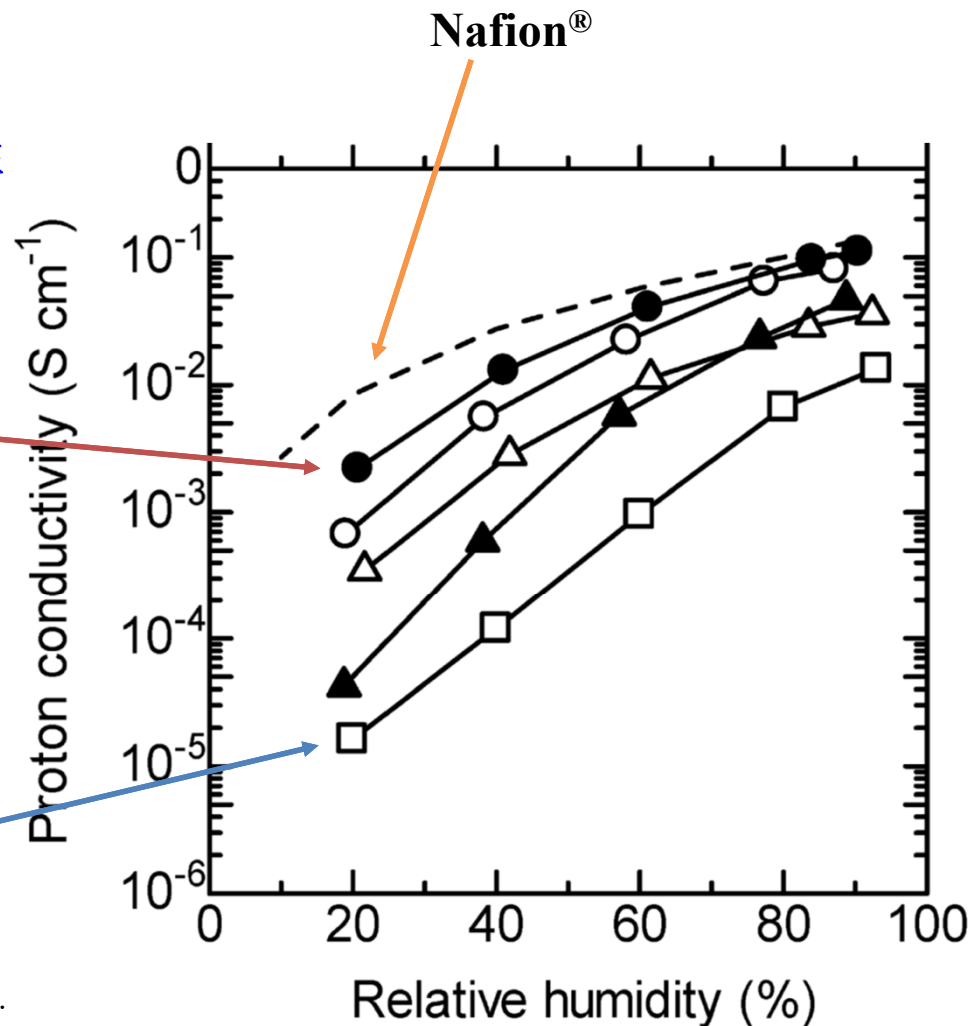
Guthrie, J. P. *Can. J. Chem.* **1978**, *56*, 2342.

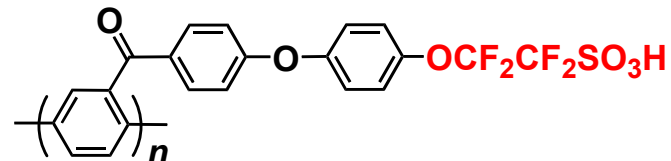
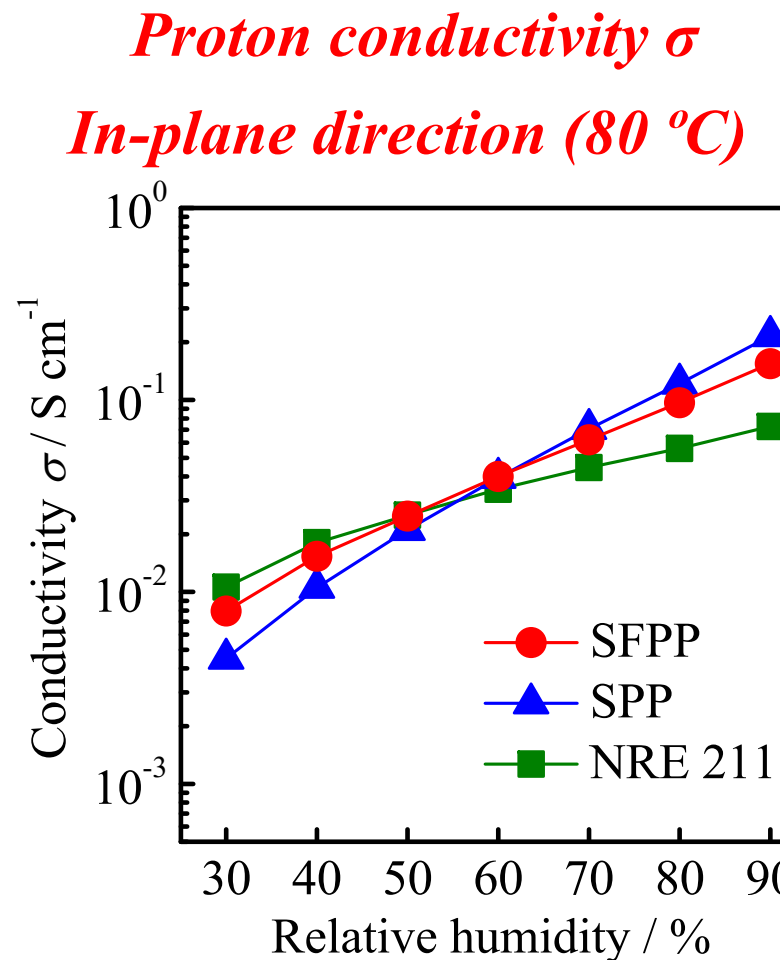


Watanabe, M. et al. *ACS Appl. Mater. Interfaces*, **2010**, *2*, 1714.

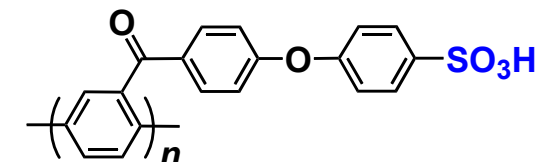
Miyatake, K. et al. *RSC Adv.*, **2012**, *2*, 5199.

Nafion®

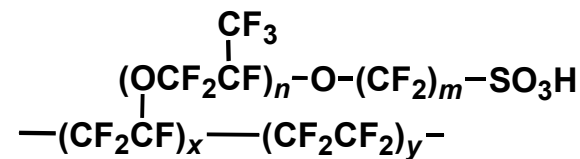




SFPP (3.22 meq cm⁻³)



SPP (4.09 meq cm⁻³)



NRE 211 (1.75 meq cm⁻³)

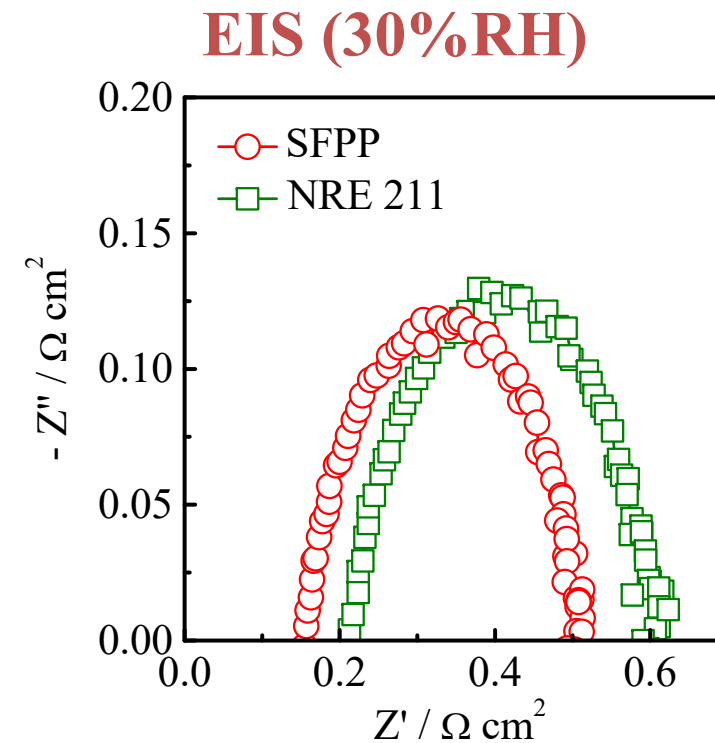
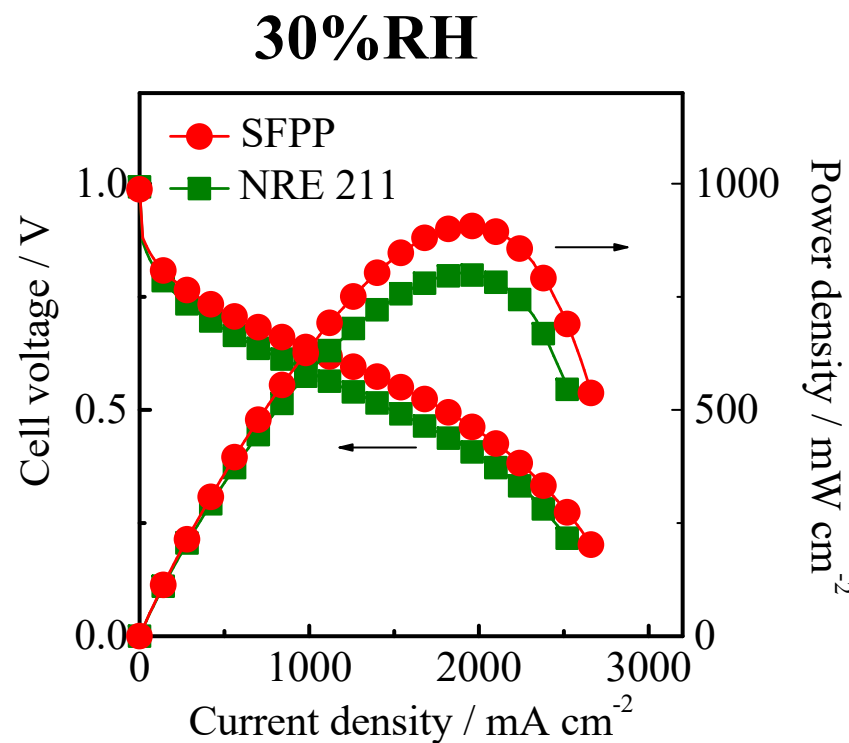
プロトン伝導性 σ

高加湿条件下: **SPP (4.09 meq cm⁻³) > SFPP (3.22 meq cm⁻³) > NRE 211 (1.75 meq cm⁻³)**

低加湿条件下: **NRE 211 > SFPP > SPP**

SFPPとNafionの発電特性

Fuel cell performance (80 °C, 0.1 MPaG)



Membrane: SFPP (18 μm) or Nafion NRE 211 (25 μm)

Cell temp.: 80 °C, Gas pressure: 0.1 MPaG

Gas flow rate: Cathode (Air, 1.0 L min^{-1})

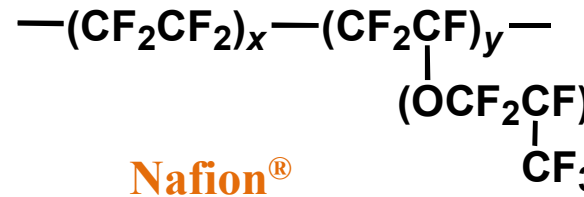
Anode (H_2 , 0.5 L min^{-1})

Pt loading: Cathode (0.4 mg cm^{-2})

Anode (0.15 mg cm^{-2})

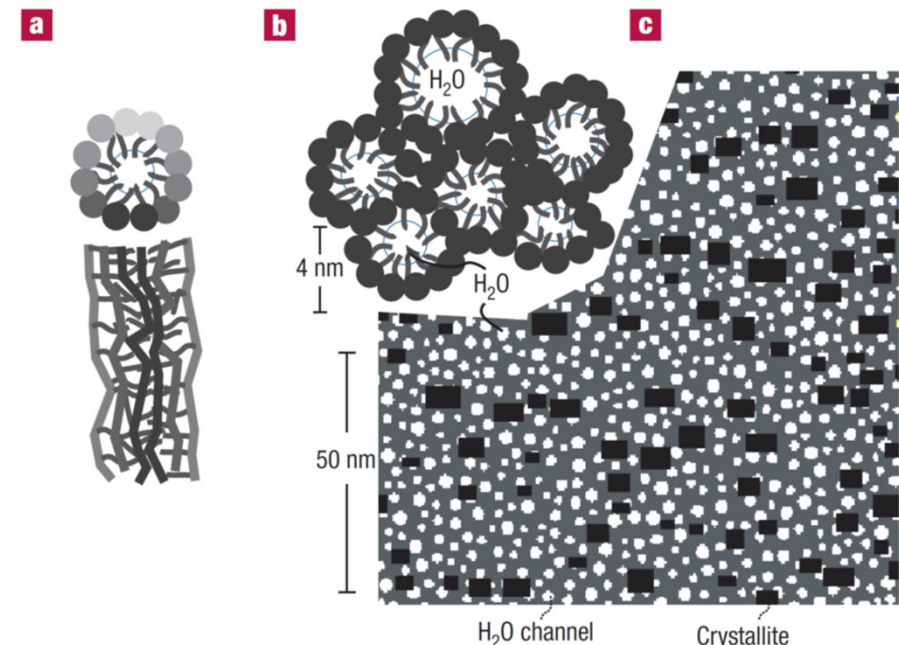
SFPPは低加湿下において
化学構造を反映した
優れた発電特性

Nafion®の高次構造



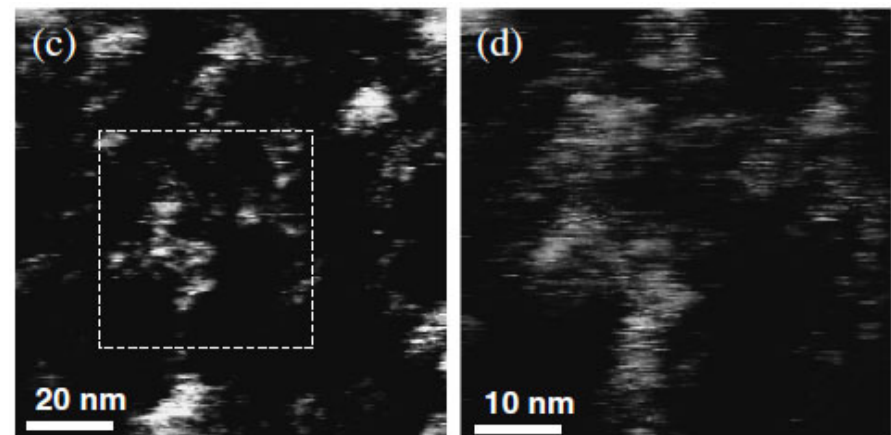
$$x = 5\text{--}13.5, y = 1000$$

$$m = 1, n = 2$$



Schmidt-Rohr, K. et al. *Nat. Mater.* **2008**, 7, 75.

AFM current images



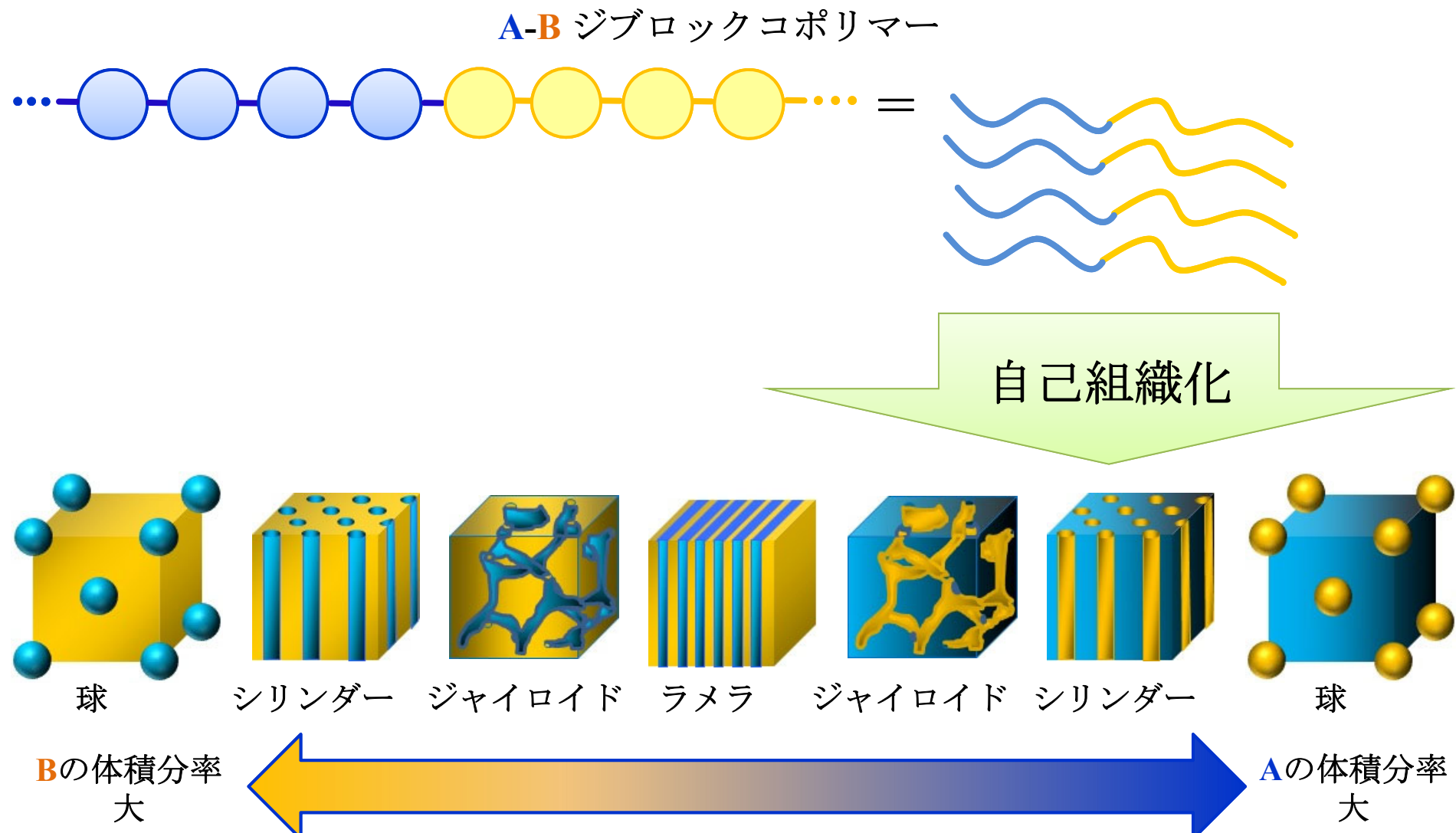
Takimoto, N.; Ohira, A; Takeoka, Y.; Rikukawa, M.
Chem. Lett. **2008**, 37, 164.

Nafion®は数nmのイオンクラスター構造を形成



高いプロトン伝導度の発現

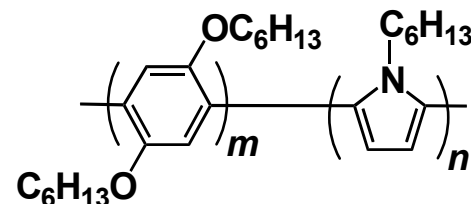
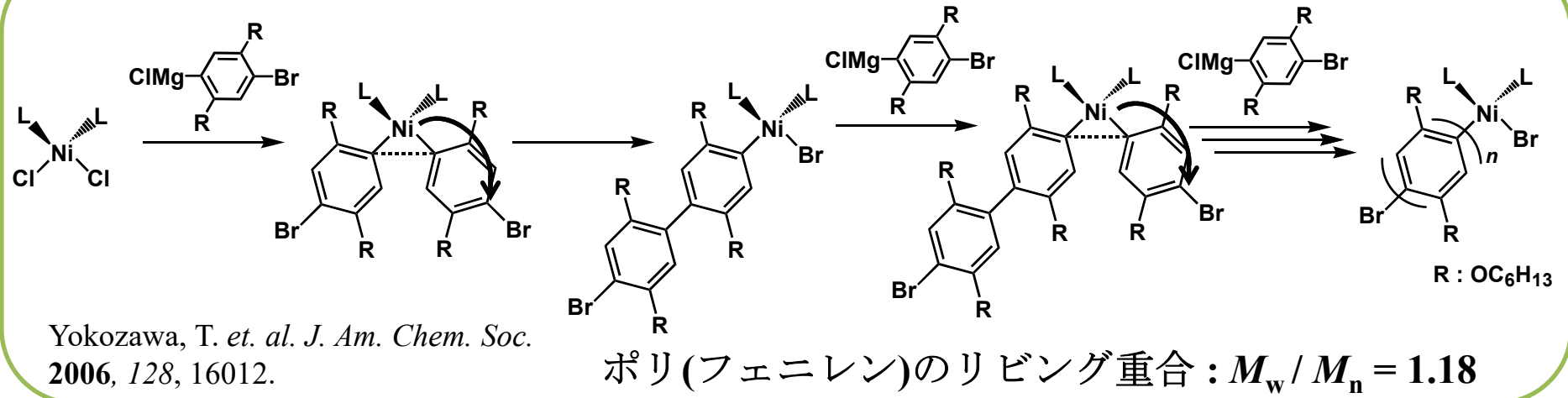
ブロックコポリマー



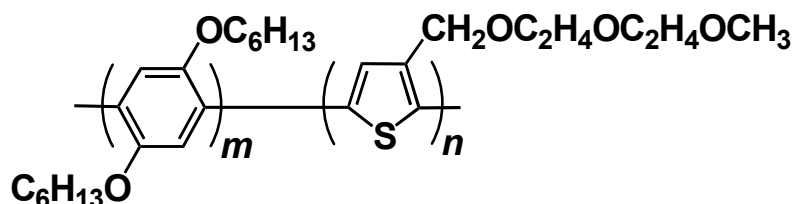
数～数十nm程度の規則的凝集構造 = ミクロ相分離構造(ナノ相分離構造)₉

触媒移動型縮合重合法

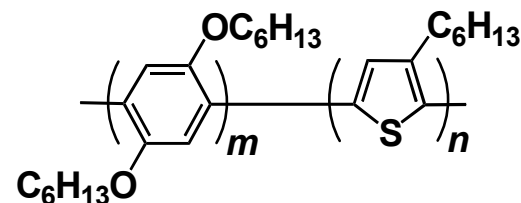
触媒移動型縮合重合



Yokozawa, T. et. al. *Macromolecules* 2008, 41, 7271.



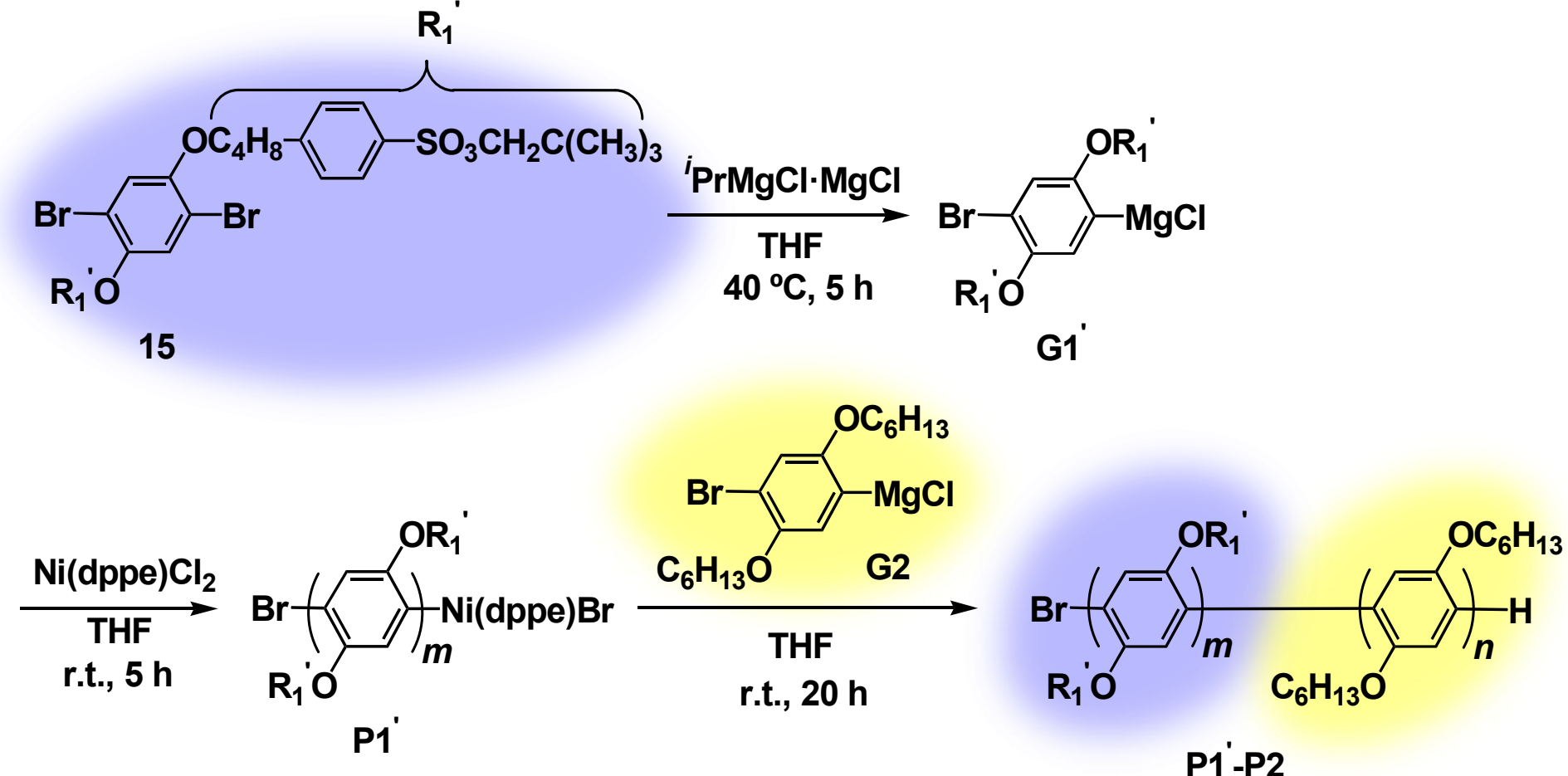
Zhang, X. et. al. *Physica B* 2013, 420, 49.



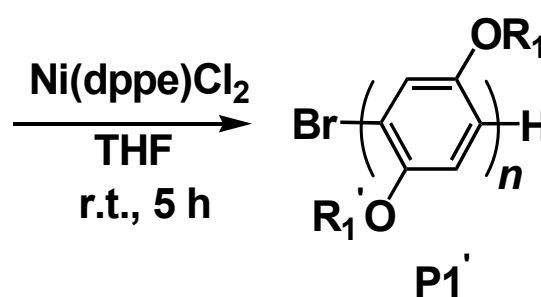
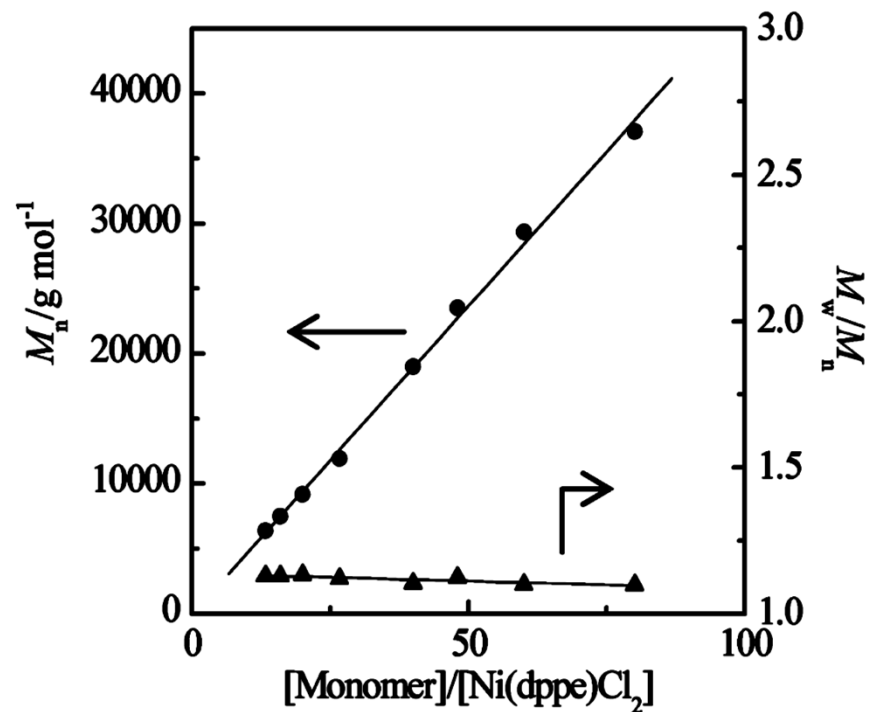
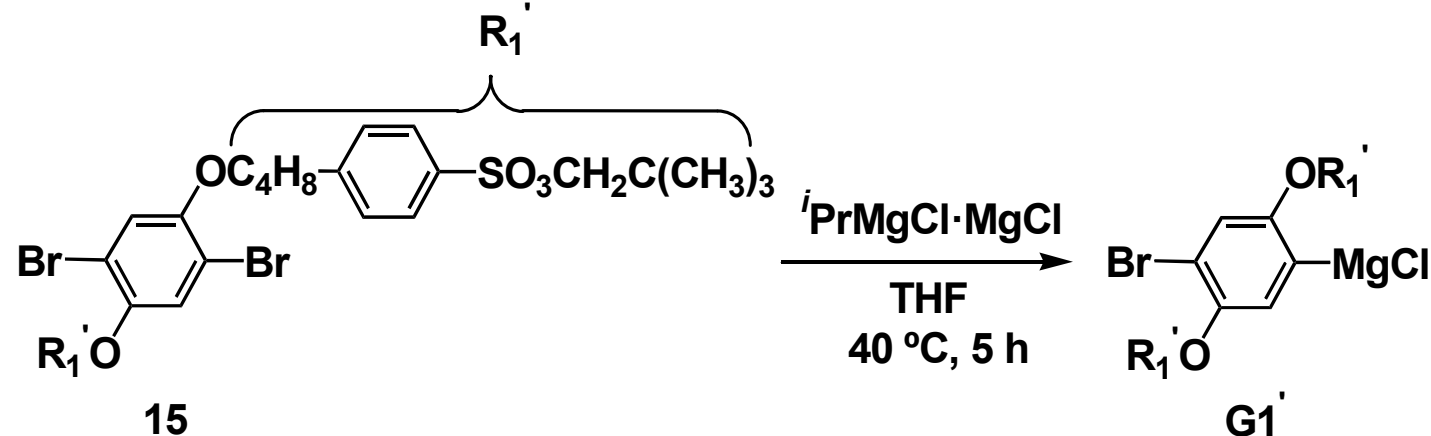
Geng, Y. et. al. *Polymer* 2009, 50, 6245.

ポリ(フェニレン)骨格からなる
ジブロックコポリマー材料が報告

触媒移動型縮合重合法によるジブロックコポリマーの合成

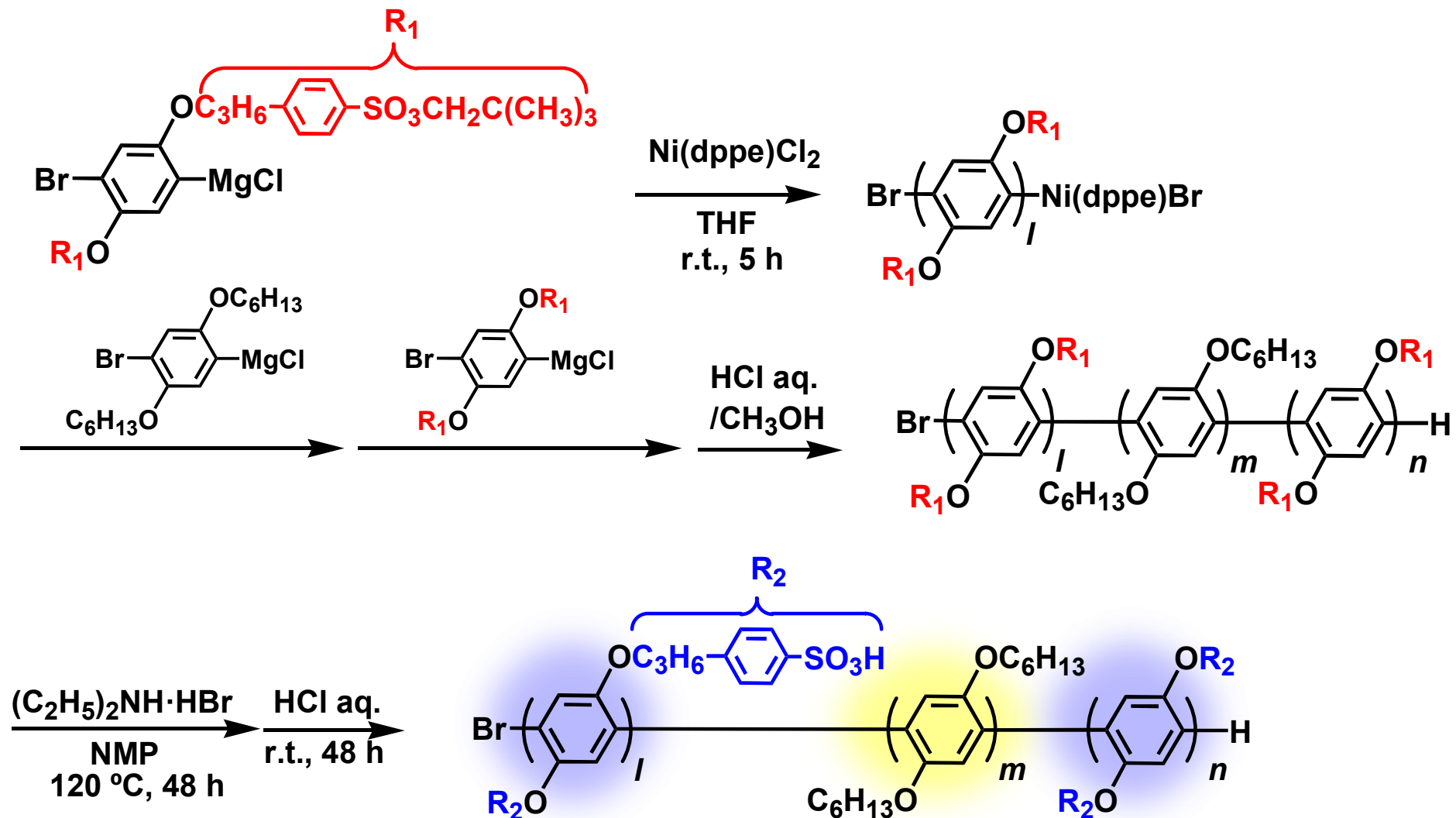


触媒移動型縮合重合法による親水性ポリマーの合成



Umezawa, K.; Oshima, T.; Yoshizawa-Fujita, M.; Takeoka, Y.; Rikukawa, M. *ACS Macro lett.*, **2012**, *1*, 969.

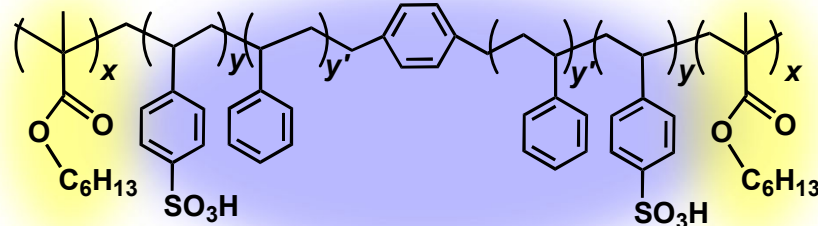
トリブロックコポリマーの合成



SP1-P2-SP1 $\left\{ \begin{array}{l} \text{SP1 : Hydrophilic polymer} \\ \text{P2 : Hydrophobic polymer} \end{array} \right.$

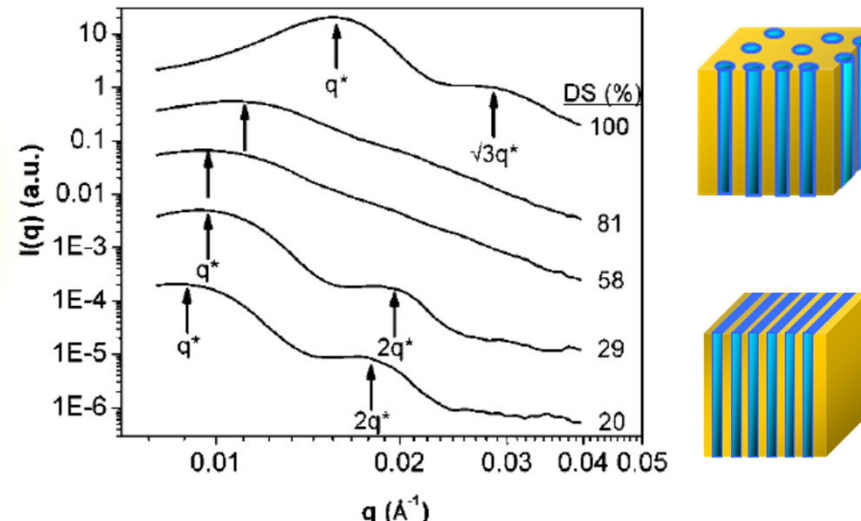
ミクロ相分離構造の評価手法

散乱法：小角X線散乱 (SAXS)



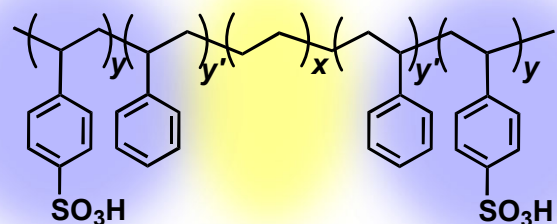
Hickner, M. A. et al. *Macromolecules* **2010**, *43*, 599.

Hickner, M. A. et al. *J. Mater. Chem.* **2010**, *20*, 6316.

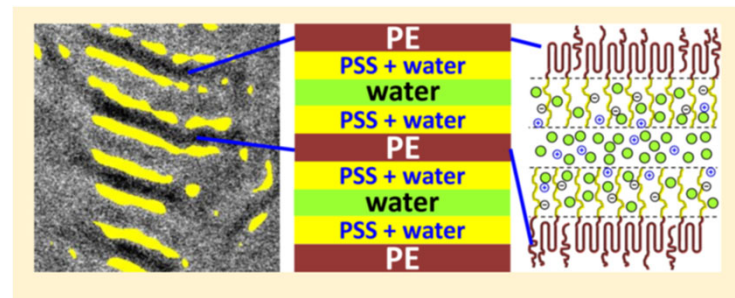


シリンドラー構造やラメラ構造を確認

顕微鏡観察：透過型電子顕微鏡 (TEM)



Balsara, N. P. et al. *Nano Lett.* **2014**, *14*, 4058.

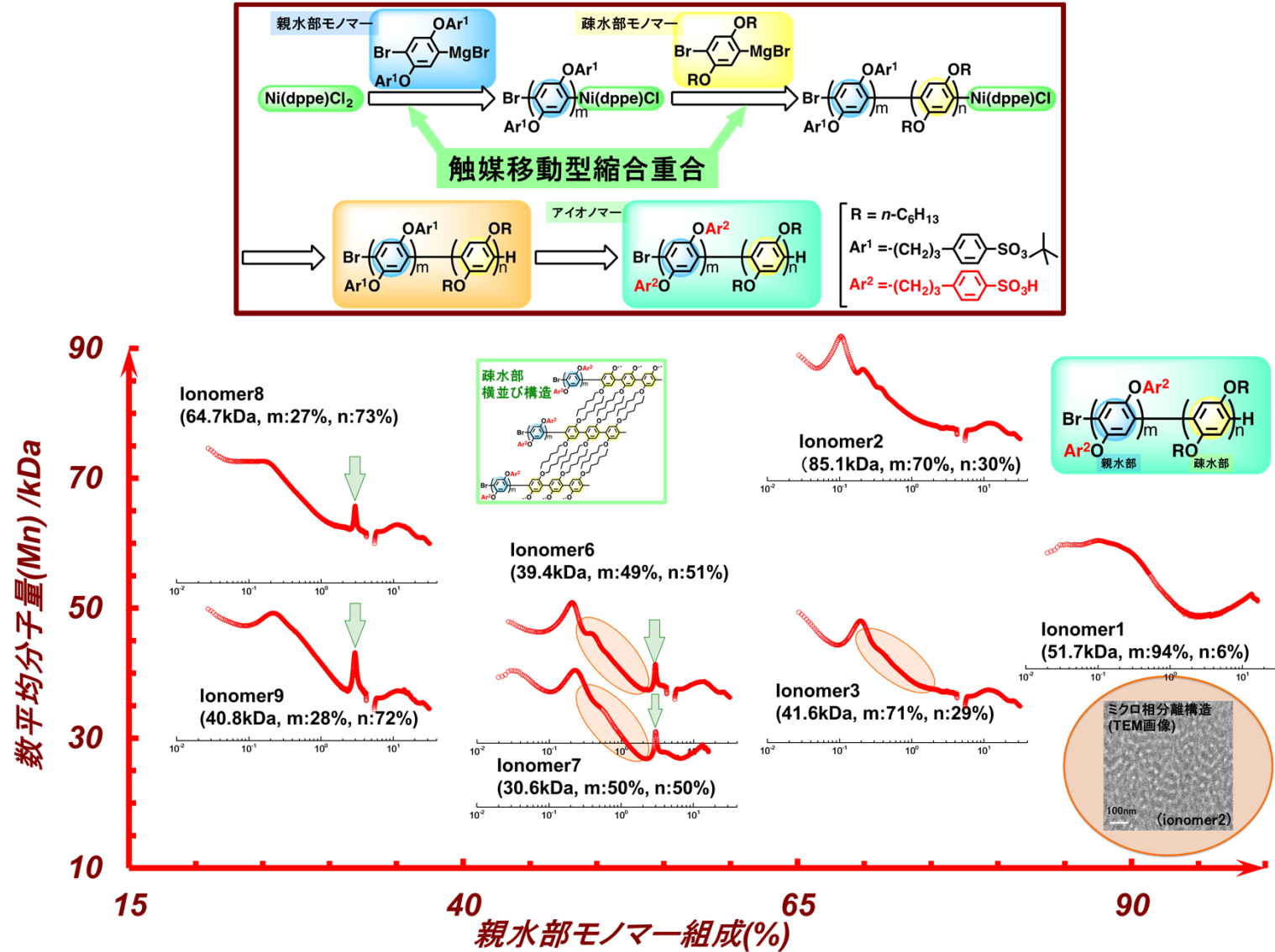


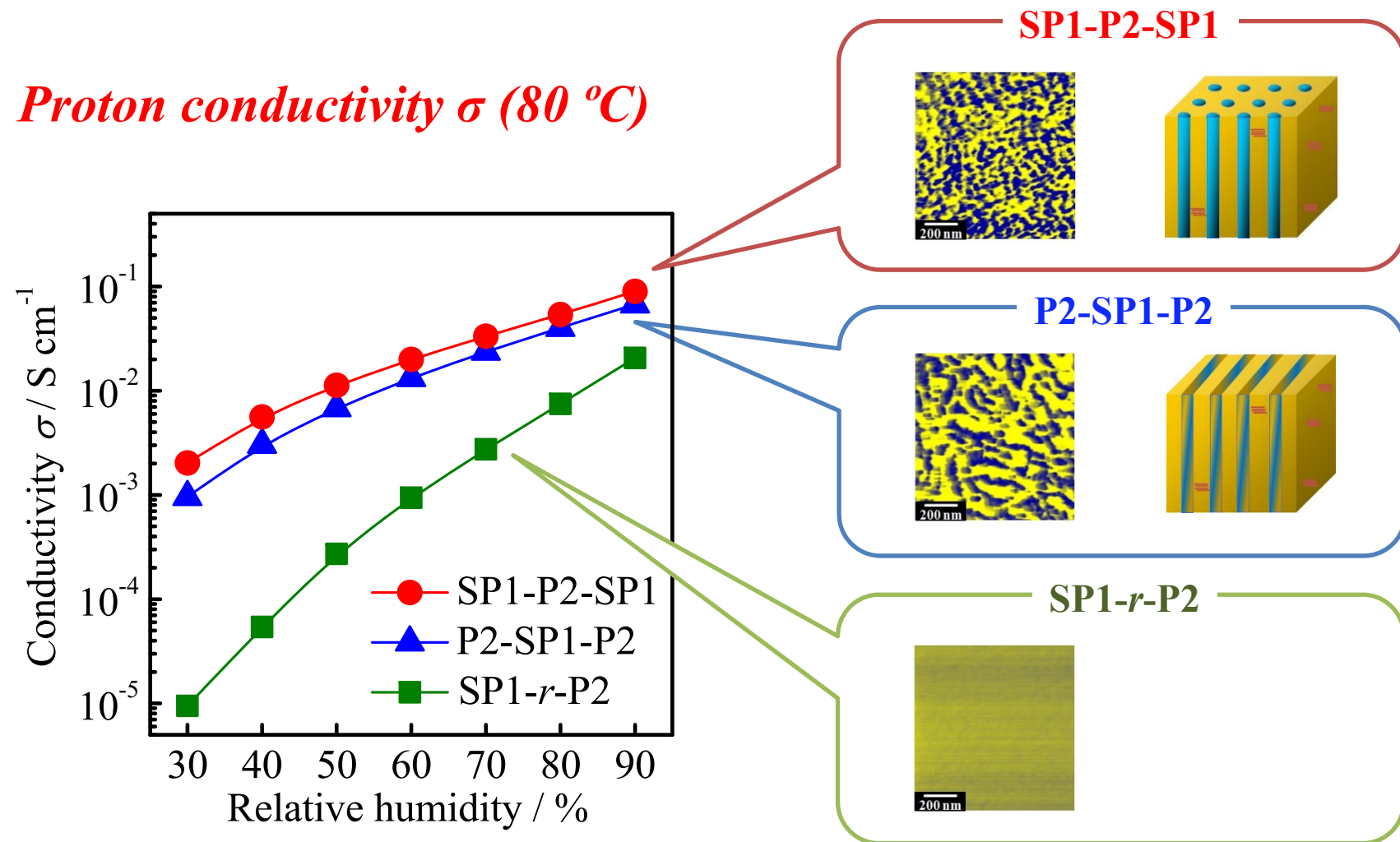
親水部のナノチャンネルを確認

散乱法や顕微鏡観察による構造解析が有効

ジブロック構造と組織性

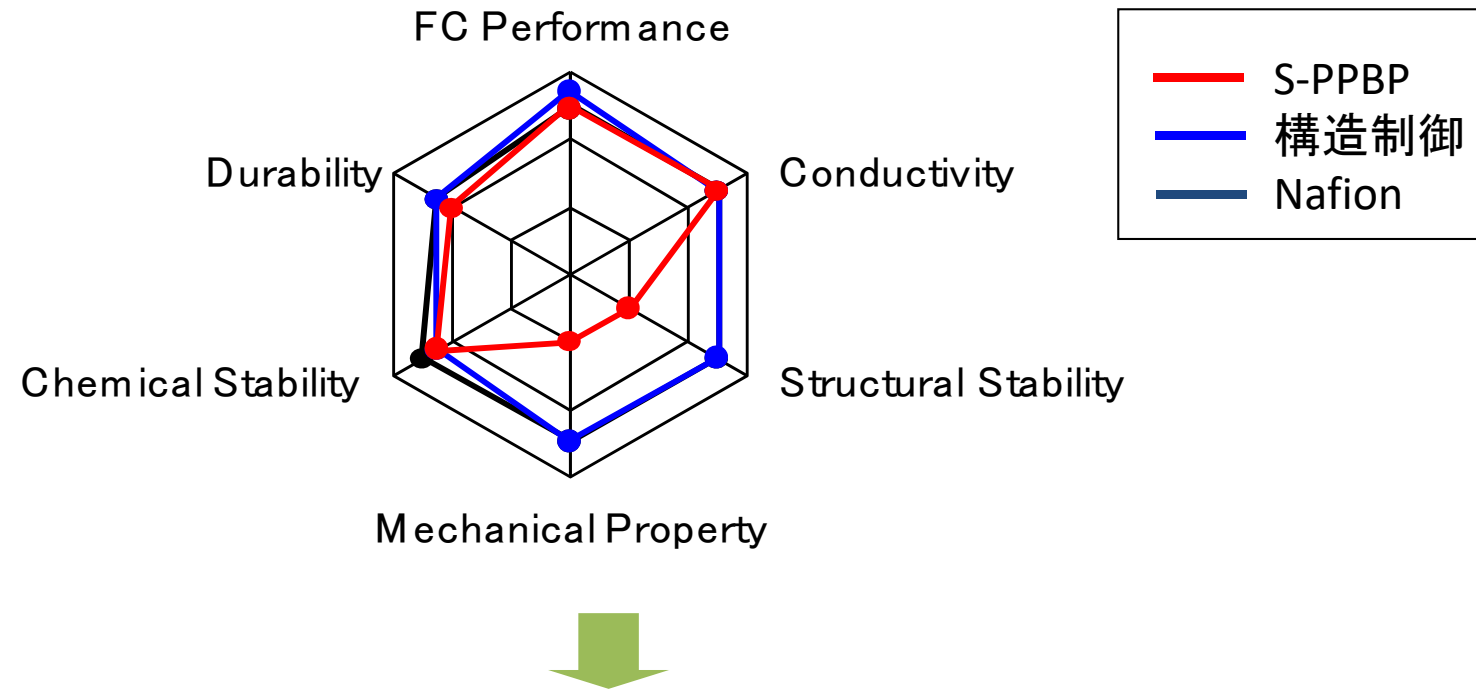
◇ モデル電解質合成技術の確立—触媒移動型重縮合反応による合成技術の確立





トリブロックコポリマー**SP1-P2-SP1**と**P2-SP1-P2**は
ランダムコポリマー**SP1-r-P2**よりも高いプロトン伝導度

結論



- ・液晶性やミクロ相分離構造などの超分子組織性を導入することで、高分子電解質材料の高性能化が実現できた。
- ・高次構造の明瞭性や連結性の向上や、イオンチャンネルの配向性制御が必要とされる。
- ・触媒層中のアイオノマーとして機能することを明らかにした。